

## 論 文

大 韓 造 船 學 會 誌  
 第23卷 第4號 1986年 12月  
 Journal of the Society of  
 Naval Architects of Korea  
 Vol. 23, No. 4, December 1986

### 境界要素法에 의한 2次元 應力解析

張 昌 斗\* · 李 成 煉\*\*

Two-Dimensional Stress Analysis Using Boundary Element Method

by

Chang Doo Jang\* · Sung Hoon Lee\*\*

#### Abstract

The fundamental theory and application of boundary element method for two-dimensional problem are introduced in this paper.

Based on this boundary element procedure, several numerical calculations such as circular cavity problem, a thin plate with hole under tension and a long thick-walled cylinder under internal pressure are performed.

The numerical results show fairly good agreement with exact solutions or results of finite element method.

절이 있다.

#### 1. 서 언

구조물의 응력해석에는 크게 나누어 해석적인 방법과 수치적인 방법으로 대별할 수 있으며, 수치해석법으로 여러가지 방법이 있으나 현재 가장 널리 이용되고 있는 방법으로는 유한요소법(Finite Element Method: FEM)을 들 수 있다.

유한요소법은 소위 영역형 해법(domain type solution)으로서 물체의 전영역을 이산화(discretization)하여 해석하는 데 비하여, 경계요소법(Boundary Element Method: BEM)은 구조물의 경계만을 분할하여 경계상의 적분방정식을 이산화시켜 선형대수방정식의 해를 구하는 방법이다. 따라서 대상물체의 차원을 하나 만큼 감소시킬 수 있어, 영역형 해법에 비해 입력데이터나 계산기용량 및 계산시간을 현저히 감축할 수 있는 이

경계요소법은 종래 물리수학의 영역에서는 경계적분방정식법(Boundary Integral Equation Method), 특이점 해법(Singularity Method) 또는 Green함수법 등의 이름으로 사용되어 왔는데, 여기서는 주로 고체역학분야에의 지금까지의 응용을 보기로 한다. 선형탄성문제에 대한 경계요소법의 이론적 기초는 Love[1], Bergman과 Schiffer[2], Muskhelishvili[3], Mikhlin 및 Kupradze[4, 5]등에서 볼 수 있다. 이 해법의 공학문제에의 응용은 1960년대 시작되었는데 적분방정식을 이산화 시켜 선형대수 방정식으로 귀착시켜 전산기를 사용하여 해를 구하는 방법은 Jaswon 및 Symm[6, 7] 등에 의해 포텐셜문제에 대해 간접법의 견지에서 시작되었다. 그후 Jaswon, Maiti[8]등에 의해 팬급힘문제에 대해 연구가 계속되었다.

한편 체적적분을 경계상의 면적분으로 변환하는

접수일자 : 1986년 9월 25일, 제접수일자 : 1986년 10월 23일

\* 정회원, 서울대학교 공과대학

\*\* 정회원, 대우조선(주)

Green의 공식에 근거한 적점법을 이용한 선구적 연구로는 비틀문제에 대해 Jaswon과 Ponter[9]에 의해 이루어 졌고, 그후 Rizzo, Watson, Brebbia, Walker[10]~[13]등에 의해 적극적으로 연구개발이 진행되었다. 최근에는 경계요소법에 대한 관심이 높아져 고정도(高精度)요소의 개발 및 해법의 효율화 등을 통하여 실제 공학문제에의 응용을 시도한 결과, 선형문제 뿐만 아니라 비선형문제에도 많은 발전을 이루었으며, 열탄소성과 동탄성문제에 까지 확장되었고 전자기 문제와 유체분야등 비구조분야에 까지 많은 발전을 이루고 있다 [14]~[18].

한편 국내에서는 경계요소법을 이용한 연구는 아직 초기도입 단계에 있어 극히 드문 편이다. 따라서 여기에서는 경계요소법의 기본이론을 도입하여 몇가지 2차원 탄성모델의 응력을 계산하고 업밀해나 유한요소법의 결과와 비교함으로써 경계요소법의 유효성을 검토하였다.

## 2. 경계적분방정식의 정식화

### 2.1. 일반관계식

Fig. 1과 같은 직각 좌표계에 관한 2차원 등방성 탄성 물체의 평형조건식은 다음과 같이 표시된다.

$$\sigma_{ij,j} + b_i = 0 \quad (i, j=1, 2) \quad (1)$$

여기서  $\sigma_{ij}$ 는 응력성분,  $b_i$ 는 body force이다.

응력과 변형도의 관계식은

$$\sigma_{ij} = \frac{2\mu\nu}{1-2\nu} \delta_{ij} \epsilon_{kk} + 2\mu \epsilon_{ij} \quad (2)$$

여기서  $\mu$ 와  $\nu$ 는 전단탄성계수 및 Poisson비이고,  $\delta_{ij}$ 는 Kronecker delta를 나타낸다. 변형도와 변위의 관계는

$$\epsilon_{ij} = \frac{1}{2} \left( \frac{\partial u_i}{\partial x_j} + \frac{\partial u_j}{\partial x_i} \right) \quad (3)$$

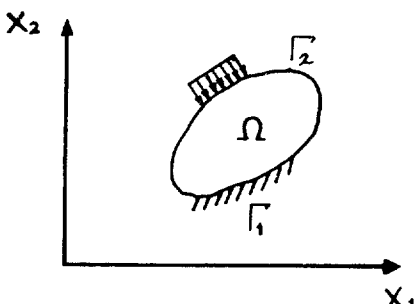


Fig. 1 2-D Boundary value problem

물체는 내부영역  $\Omega$ 를 갖고 boundary  $\Gamma$ (변위( $u$ )가 지정되는 boundary  $\Gamma_1$ 과 traction( $p$ )이 지정되는 boundary  $\Gamma_2$ 의 합)를 갖는다고 하자. 탄성평형상태( $b_k, p_k, u_k$ )에 가상변위  $u_k^*$ 를 주고  $u_k^*$ 를 weighting function으로 생각하면 다음과 같은 식을 얻을 수 있다.

$$\int_{\Omega} (\sigma_{kj} + b_k) u_k^* d\Omega = \int_{\Gamma_1} (p_k - \bar{p}_k) u_k^* d\Gamma + \int_{\Gamma_2} (\bar{u}_k - u_k) p_k^* d\Gamma \quad (4)$$

여기서  $\bar{u}_k$ 와  $\bar{p}_k$ 는 각각 boundary  $\Gamma_1$ 과  $\Gamma_2$ 에서 지정된 변위와 traction이고  $p_k^*$ 는  $u_k^*$ 계에 해당하는 traction으로  $p_k^* = \sigma_{jk}^* n_j$ 이다.

Green의 정리에 의해 (4)식은 다음과 같이 된다 (부록 참조).

$$\int_{\Omega} b_k u_k^* d\Omega + \int_{\Omega} \sigma_{jk}^* u_k d\Omega = - \int_{\Gamma_1} \bar{p}_k u_k^* d\Gamma - \int_{\Gamma_1} p_k u_k^* d\Gamma + \int_{\Gamma_1} \bar{u}_k p_k^* d\Gamma + \int_{\Gamma_1} u_k p_k^* d\Gamma \quad (5)$$

이제

$$\sigma_{jk}^*, j + \Delta_l^p = 0 \quad (6)$$

을 만족하는 해가 존재하면  $\Omega$ 내에서 (5)식은 다음과 같이 된다.

$$u_l^p + \int_{\Gamma_1} \bar{u}_k p_k^* d\Gamma + \int_{\Gamma_1} u_k p_k^* d\Gamma = \int_{\Omega} b_k u_k^* d\Omega + \int_{\Gamma_1} p_k u_k^* d\Gamma + \int_{\Gamma_1} \bar{p}_k u_k^* d\Gamma \quad (7)$$

여기서  $\Delta_l^p$ 과  $u_l^p$ 은 각각  $p$ 점에서의  $l$ 방향으로의 unit force(Dirac delta function)와 unit displacement이다.

$\Gamma = \Gamma_1 + \Gamma_2$ 이므로 (7)식은 일반적으로 다음과 같다.

$$u_l^p + \int_{\Gamma} u_k p_k^* d\Gamma = \int_{\Gamma} p_k u_k^* d\Gamma + \int_{\Omega} b_k u_k^* d\Omega \quad (8)$$

이제 가상변위  $u_k^*$ 과 이에 대응하는 traction  $p_k^*$ 를 unit force에 의한 변위와 traction으로 생각하면 unit force의 방향성을 고려하여  $u_k^*$ 와  $p_k^*$ 는  $u_{ik}^*$ ,  $p_{ik}^*$ 로 쓸 수 있다. 이는 각각  $l$ 방향의 unit force에 의한  $k$ 방향으로의 변위와 traction을 나타낸다(Fig. 2 참조).

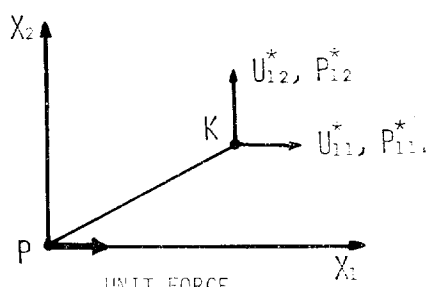


Fig. 2 Influence of unit force

방향성을 고려하면 (8)식은 다음식과 같다.

$$u_i^* + \int_{\Gamma} u_k p_{lk}^* d\Gamma = \int_{\Gamma} p_k u_{lk}^* d\Gamma + \int_{\Omega} p_k u^*_{lk} d\Omega \quad (9)$$

## 2.2. 기본해

평형 방정식 (1)을 displacement로 표시하기 위해 (2)

$$[L_{ij}] = \mu \begin{bmatrix} \frac{1-\nu}{1-2\nu} \cdot \frac{\partial^2}{\partial x_1^2} + \frac{\partial^2}{\partial x_2^2}, & \frac{1}{2(1-2\nu)} \cdot \frac{\partial^2}{\partial x_1 \partial x_2} \\ \frac{1}{2(1-2\nu)} \cdot \frac{\partial^2}{\partial x_1 \partial x_2}, & \frac{1}{2} \cdot \frac{\partial^2}{\partial x_1^2} + \frac{1-\nu}{1-2\nu} \cdot \frac{\partial^2}{\partial x_2^2} \end{bmatrix}, \quad \mathbf{u}_j = \begin{bmatrix} u_1 \\ u_2 \end{bmatrix}$$

이제  $A_i^k$  즉  $k$ 방향의 단위힘을  $i$ 방향의 body force로 생각하면 (6)식은 다음과 같이 된다.

$$A_{ik} u_{lk}^* + \delta_{ii} A_i^k = 0 \quad (11)$$

여기서  $\delta_{ii}$ 는 Kronecker delta이다.

(11)식을 만족하는 해  $u_{lk}^*$ 를 기본해라 하여 다음과 같이 표현된다.

$$\begin{aligned} u_{lk}^* &= \frac{1}{8\pi\mu(1-\nu)} \left[ (3-4\nu) \ln\left(\frac{1}{r}\right) \delta_{lk} \right. \\ &\quad \left. + \frac{\partial r}{\partial x_l} \cdot \frac{\partial r}{\partial x_k} \right] \end{aligned} \quad (12)$$

여기서  $\frac{\partial r}{\partial x_i} = \frac{r_i}{r}$  이다.

또

$$\begin{aligned} p_k^* &= \sigma_{kj}^* n_j \\ \sigma_{kj}^* &= \frac{2\mu\nu}{1-2\nu} \delta_{kj} \varepsilon_{mm}^* + 2\mu\varepsilon_{kj}^* \\ \varepsilon_{kj}^* &= \frac{1}{2} \left( \frac{\partial u_k^*}{\partial x_j} + \frac{\partial u_j^*}{\partial x_k} \right) \text{이므로} \\ p_{lk}^* &= \sigma_{jlk}^* n_j \\ \sigma_{jlk}^* &= \frac{2\mu\nu}{1-2\nu} \delta_{kj} \varepsilon_{lmn}^* + 2\mu\varepsilon_{jlk}^* \\ \varepsilon_{jlk}^* &= \frac{1}{2} \left( \frac{\partial u_{lk}^*}{\partial x_j} + \frac{\partial u_j^*}{\partial x_k} \right) \end{aligned} \quad (13)$$

여기서  $\sigma_{jlk}^*$ 와  $\varepsilon_{jlk}^*$ 는  $p$ 점에서  $k$ 방향으로 unit force가 작용했을 때  $\Gamma$ 에서  $k$ 점에서의  $j$ 방향으로의 응력과 변형도이다 (Fig. 3 참조).

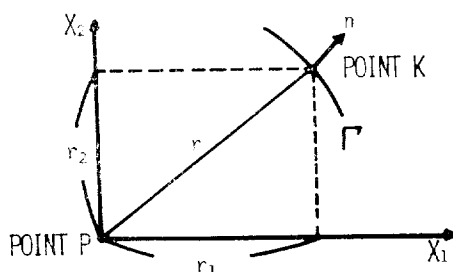


Fig. 3 Geometrical definitions

식과 (3)식을 (1)에 대입하면 다음과 같은 Navier 방정식이 된다.

$$L_{ij} u_j + b_i = 0 \quad (10)$$

여기서

$p_{lk}^*$ 는 (12)식을 (13)식에 대입하면 다음과 같다.

$$\begin{aligned} p_{lk}^* &= -\frac{1}{4\pi(1-\nu)r} \left[ \frac{\partial r}{\partial n} \left\{ (1-2\nu)\delta_{kl} \right. \right. \\ &\quad \left. \left. + 2 \frac{\partial r}{\partial x_k} \cdot \frac{\partial r}{\partial x_l} \right\} \right. \\ &\quad \left. - (1-2\nu) \left( \frac{\partial r}{\partial x_l} n_k - \frac{\partial r}{\partial x_k} n_l \right) \right] \end{aligned} \quad (14)$$

위의  $u_{lk}^*$ 와  $p_{lk}^*$ 는 plane strain의 경우이고 plane stress의 경우에는  $\nu$  대신  $\nu = -\frac{\nu}{1+\nu}$  를 쓴다.

## 2.3. 경계점에서의 정식화

경계적분 방정식 (8)을 유도하는데는 unit force가 영역  $\Omega$ 내에 있을 경우이다. unit force가 boundary상에 있을 경우에는 (8)식은 성립하지 않는다.

이제 unit force가 boundary상에 있을 경우에 경계적분 방정식은 어떻게 되는가를 살펴보자.

경계적분 방정식 (9)식의 왼쪽 첫번째 항  $u_i^*$ 은  $\int_{\Omega} u_k A_i^k d\Omega$ 에서 오는 결과이므로  $A_i^k$ 이 boundary상에 있을 경우에는 성립하지 않는다.

이제 unit force가 경계점상에 있을 경우에 경계적분 방정식은 다음과 같이 하여 구할 수 있다.

Fig. 4와 같이 boundary를 unit force가 있는 점에서 반경  $\epsilon$ 만큼 증가시키면  $\Gamma$ 는  $\Gamma_\epsilon$ 과  $\Gamma_R$ 의 합으로 생각할 수 있고 (9)식의 첫번째 적분항은 다음과 같이 쓸 수 있다.

$$\int_{\Gamma} u_k p_{lk}^* d\Gamma = \int_{\Gamma_\epsilon} u_k p_{lk}^* d\Gamma + \int_{\Gamma_R} u_k p_{lk}^* d\Gamma$$

이제  $\epsilon \rightarrow 0$ 의 경우  $\Gamma_\epsilon$ 에 대한 적분을 생각해 보면,

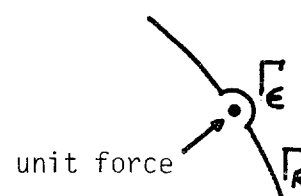


Fig. 4 Integration contour for unit force on the boundary

$$\begin{aligned}
I_1 &= \lim_{\epsilon \rightarrow 0} \left\{ \int_{r_\epsilon} u_k p_{lk}^* d\Gamma \right\} \\
&= \lim_{\epsilon \rightarrow 0} \left\{ \int_{r_\epsilon} u_k \left[ \frac{\partial r}{\partial n} \left\{ (1-2\nu) \delta_{lk} + 2 \frac{\partial r}{\partial x_k} \cdot \frac{\partial r}{\partial x_l} \right\} \right. \right. \\
&\quad \left. \left. - (1-2\nu) \left( \frac{\partial r}{\partial x_l} n_k \right. \right. \right. \\
&\quad \left. \left. \left. - \frac{\partial r}{\partial x_k} n_l \right) \right] \frac{1}{4\pi(1-\nu)r} d\Gamma \right\} \quad (15)
\end{aligned}$$

윗식에서  $\epsilon=r|\circ|$  고  $n_k=\frac{\partial x_k}{\partial r}$ ,  $n_l=\frac{\partial x_l}{\partial r}$  이므로  $\frac{\partial r}{\partial x_l} n_k$   
 $-\frac{\partial r}{\partial x_k} n_l = 0$ ,  $\frac{\partial r}{\partial n}=1$ 이다. 그러므로 (15)식은 다음과 같다.

$$\begin{aligned}
I_1 &= \lim_{\epsilon \rightarrow 0} \left[ - \int_{r_\epsilon} u_k \left\{ (1-2\nu) \delta_{lk} \right. \right. \\
&\quad \left. \left. + 2 \frac{\partial r}{\partial x_k} \cdot \frac{\partial r}{\partial x_l} \right\} \cdot \frac{d\Gamma}{4\pi(1-\nu)r} \right] \quad (16)
\end{aligned}$$

$l=1$ 일 때  $I_1$ 은 다음과 같다. 즉 Fig. 4에서  $d\Gamma=rd\theta$ 등을 고려하면,

$$\begin{aligned}
I_1 &= - \int_0^\pi [u_1^k (1-2\nu) + 2u_1^k \left( \frac{\partial r}{\partial x_1} \right)^2 \\
&\quad + u_2^k \frac{\partial r}{\partial x_1} \cdot \frac{\partial r}{\partial x_2}] \frac{d\theta}{4\pi(1-\nu)} \\
&= - \int_0^\pi [u_1^k (1-2\nu) + 2u_1^k \cos^2 \theta \\
&\quad + u_2^k \cos \theta \sin \theta] \frac{d\theta}{4\pi(1-\nu)} \\
&= - \frac{1}{4\pi(1-\nu)} \{ \pi(1-2\nu) u_1^k + \pi u_1^k \} = - \frac{1}{2} u_1^k \quad (17)
\end{aligned}$$

$l=2$ 에 대해서 위와 같이 계산하면

$$I_1 = - \frac{1}{2} u_2^k \text{이}.$$

그러므로 일반적으로

$$I_1 = \lim_{\epsilon \rightarrow 0} \left\{ \int_{r_\epsilon} u_k p_{lk}^* d\Gamma \right\} = - \frac{u_l^k}{2}$$

(9)식의 두번째 적분항은 다음과 같이 쓸 수 있다.

$$\int_{r_\epsilon} p_k u_{lk}^* d\Gamma = \int_{r_\epsilon} p_k u_k u_{lk}^* d\Gamma + \int_{r_\epsilon} p_k u_l u_{lk}^* d\Gamma \quad (18)$$

$r_\epsilon$ 에 대한 적분의 극한치  $I_2$ 는,

$$\begin{aligned}
I_2 &= \lim_{\epsilon \rightarrow 0} \int_{r_\epsilon} p_k u_{lk}^* d\Gamma \\
&= \lim_{\epsilon \rightarrow 0} \int_{r_\epsilon} p_k \left\{ (3-4\nu) \ln \left( \frac{1}{\epsilon} \right) \delta_{lk} \right. \\
&\quad \left. + \frac{\partial r}{\partial x_l} \cdot \frac{\partial r}{\partial x_k} \right\} \frac{1}{8\pi\mu(1-\nu)} d\Gamma \\
&= \lim_{\epsilon \rightarrow 0} \int_0^\pi \left\{ p_k (3-4\nu) \ln \left( \frac{1}{\epsilon} \right) \delta_{lk} \right. \\
&\quad \left. + \cos \theta \sin \theta \right\} \frac{\epsilon d\theta}{8\pi\mu(1-\nu)} = 0
\end{aligned}$$

이 상으로부터 smooth boundary에 대해 (9)식은 다음과 식으로 변형된다.

$$\frac{1}{2} u_l^p + \int_r u_k p_{lk}^* d\Gamma = \int_r p_k u_{lk}^* d\Gamma + \int_\Omega b_k u_{lk}^* d\Omega \quad (19)$$

boundary가 smooth하지 않으면 일반적으로 다음과 같이 쓸 수 있다.

$$c^* u_l^p + \int_r u_k p_{lk}^* d\Gamma = \int_r p_k u_{lk}^* d\Gamma + \int_\Omega b_k u_{lk}^* d\Omega \quad (20)$$

변위와 traction과 body force는 각각 다음과 같이 vector로 표시 할 수 있다.

$$\mathbf{u} = \begin{bmatrix} \mathbf{u}_1 \\ \mathbf{u}_2 \end{bmatrix} \quad \mathbf{p} = \begin{bmatrix} \mathbf{p}_1 \\ \mathbf{p}_2 \end{bmatrix} \quad \mathbf{b} = \begin{bmatrix} \mathbf{b}_1 \\ \mathbf{b}_2 \end{bmatrix} \quad (21)$$

또 singular solution  $u_{lk}^*$ 과  $p_{lk}^*$ 는 다음과 같이 쓸 수 있다.

$$\mathbf{u}^* = \begin{bmatrix} u_{11}^* & u_{12}^* \\ u_{21}^* & u_{22}^* \end{bmatrix} \quad \mathbf{p}^* = \begin{bmatrix} p_{11}^* & p_{12}^* \\ p_{21}^* & p_{22}^* \end{bmatrix} \quad (22)$$

(21)과 (22)를 이용하여 (19)식을 변형하면 다음과 같이 matrix 형태로 쓸 수 있다.

$$\frac{1}{2} I \mathbf{u}^p + \int_r \mathbf{p}^* \mathbf{u} d\Gamma = \int_r \mathbf{u}^* \mathbf{p} d\Gamma + \int_\Omega \mathbf{u}^* \mathbf{b} d\Omega \quad (23)$$

$$\text{여기서 } I = \begin{bmatrix} 1 & 0 \\ 0 & 1 \end{bmatrix}$$

boundary상의 element에서 변위와 traction, 영역내의 element에서의 body force가 일정하다고 하면 (23)식은 다음과 같이 쓸 수 있다.

$$\begin{aligned}
\frac{1}{2} I \mathbf{u}^p + \sum_{j=1}^n \left\{ \int_{r_j} \mathbf{p}^* d\Gamma \right\} \mathbf{u}_j \\
= \sum_{j=1}^n \left\{ \int_{r_j} \mathbf{u}^* d\Gamma \right\} \mathbf{p}_j + \sum_{l=1}^m \left\{ \int_{\Omega_l} \mathbf{u}^* d\Omega \right\} \mathbf{b}_l \quad (24)
\end{aligned}$$

boundary상의 element내에서 변위와 traction, 영역내의 element에서의 body force가 선형적으로 변한다면 (23)식은 다음과 같이 쓸 수 있다

$$\begin{aligned}
\frac{1}{2} I \mathbf{u}^p + \sum_{j=1}^n \left\{ \int_{r_j} \mathbf{p}^* \phi^T d\Gamma \right\} \mathbf{u}_j \\
= \sum_{j=1}^n \left\{ \int_{r_j} \mathbf{u}^* \phi^T d\Gamma \right\} \mathbf{p}_j + \sum_{l=1}^m \int_{\Omega_l} \{\mathbf{u}^* M^T d\Gamma\} \mathbf{b}_l \quad (25)
\end{aligned}$$

여기서  $\phi^T$ 와  $M^T$ 는 Shape function이며  $\phi^T$ 는 선형요소인 때 다음과 같다.

$$\phi^T = \begin{bmatrix} \phi_1 & \phi_2 & 0 & 0 \\ 0 & 0 & \phi_1 & \phi_2 \end{bmatrix}$$

$$\phi_1 = -\frac{1}{2}(\xi-1), \quad \phi_2 = \frac{\xi+1}{2}$$

(24)식과 (25)식의  $\int_{\Gamma_i} \mathbf{p}^* d\Gamma$  와  $\int_{\Gamma_i} \mathbf{u}^* d\Gamma$ 는 결점  $p (= i)$ 에 unit force가 있을 때 요소  $j$ 에서의 적분값이므로 이는 각각  $H_{ij}$ ,  $G_{ij}$ 로 쓸 수 있고 (24), (25)식은 다음과 같이 표시할 수 있다.

$$\frac{1}{2} I u^i + \sum_{j=1}^n H_{ij} u_j = \sum_{j=1}^n G_{ij} p_j + b^i$$

(24), (25)식의  $\frac{1}{2} I u^i$  는  $\left[ \int_{\Gamma_i} \mathbf{p}^* \phi^T d\Gamma \right] u_i$ 에 포함될 수 있으므로 (24), (25)식을 matrix형식으로 쓰면 다음과 같다.

$$H U = G P + B \quad (26)$$

body force를 무시하고 강체변형을 생각하면 (26)식은 다음과 같다.

$$H U = 0 \quad (27)$$

(20)식에서 boundary가 smooth하지 않을 때의 값  $C^0$ 는  $H$  matrix의 diagonal term으로 들어가게 되는데  $C^0$ 의 값을 구하기가 어려우므로 (27)식에서 보는 바와 같이 diagonal term은 다음과 같이 구할 수 있다.

$$H I = 0$$

즉

$$H_{2i-1,2i-1} = - \sum_{\substack{j=1 \\ (j \neq i)}}^n H_{2i-1,2j-1} \quad (28)$$

$$H_{2i,2i} = - \sum_{\substack{j=1 \\ (j \neq i)}}^n H_{2i,2j}$$

$I$ 는 주어진 방향에서의 단위 변위 vector이다.

#### 2.4. 내부점에서의 정식화

물체의 내부점에서의 변위와 응력은 다음과 같이 구할 수 있다.

(9)식은 unit force가 내부에 있을 때의 정식이므로 그대로 내부점의 변위로 생각할 수 있다. 즉,

$$u_i^* = \int_{\Gamma} \mathbf{u}_{ik}^* p_k d\Gamma - \int_{\Gamma} p_{ik}^* u_k d\Gamma + \int_{\Omega} b_k u_{ik}^* d\Omega \quad (29)$$

이것을 matrix 형태로 쓰면

$$u^* = \int_{\Gamma} \mathbf{u}^* p d\Gamma - \int_{\Gamma} \mathbf{p}^* u d\Gamma + \int_{\Omega} \mathbf{b} u^* d\Omega \quad (30)$$

물체 내부에서의 응력은 다음과 같이 구할 수 있다.

$$\sigma_{ij} = -\frac{2\mu\nu}{1-2\nu} \delta_{ij} \varepsilon_{ii} + 2\mu \varepsilon_{ij} \text{이므로} \quad (31)$$

$$\begin{aligned} \sigma_{ij} &= \int_{\Gamma} \left\{ -\frac{2\mu\nu}{1-2\nu} \delta_{ij} \frac{\partial u_{ik}}{\partial x_l} \right. \\ &\quad \left. + \mu \left( \frac{\partial u_{ik}}{\partial x_j} + \frac{\partial u_{jk}}{\partial x_i} \right) \right\} p_k d\Gamma \\ &\quad - \int_{\Gamma} \left\{ -\frac{2\mu\nu}{1-2\nu} \delta_{ij} \frac{\partial p_{ik}}{\partial x_l} \right. \\ &\quad \left. + \mu \left( \frac{\partial p_{ik}}{\partial x_j} + \frac{\partial p_{jk}}{\partial x_i} \right) \right\} u_k d\Gamma \end{aligned}$$

$$\begin{aligned} &+ \mu \left( \frac{\partial p_{ik}}{\partial x_j} + \frac{\partial p_{jk}}{\partial x_i} \right) \} u_k d\Gamma \\ &+ \int_{\Omega} \left\{ \frac{2\mu\nu}{1-2\nu} \delta_{ij} \frac{\partial u_{ik}}{\partial x_l} \right. \\ &\quad \left. + \mu \left( \frac{\partial u_{ik}}{\partial x_j} + \frac{\partial u_{jk}}{\partial x_i} \right) \right\} b_k d\Omega \end{aligned} \quad (32)$$

(32)식을 정리하면 다음과 같다.

$$\begin{aligned} \sigma_{ij} &= \int_{\Gamma} D_{ki,j} p_k d\Gamma - \int_{\Gamma} S_{ki,j} u_k d\Gamma + \int_{\Omega} D_{ki,j} b_k d\Omega \\ &\quad (33) \end{aligned}$$

여기서

$$\begin{aligned} D_{ki,j} &= \frac{1}{r} [(1-2\nu)(\delta_{ki} r_{,j} + \delta_{kj} r_{,i} - \delta_{ij} r_{,k}) \\ &\quad + 2r_{,i} r_{,j} r_{,k}] \cdot \frac{1}{4\pi(1-\nu)} \\ S_{ki,j} &= \frac{2\mu}{r^2} \left[ 2 \frac{\partial r}{\partial n} [(1-2\nu)\delta_{ij} r_{,k} + \nu(\delta_{ik} r_{,j} + \delta_{jk} r_{,i}) \right. \\ &\quad \left. - 4r_{,i} r_{,j} r_{,k}] + 2\nu(n_i r_{,j} r_{,k} + n_j r_{,i} r_{,k}) \right. \\ &\quad \left. + (1-2\nu)(2n_k r_{,i} r_{,j} + n_j \delta_{ik} + n_i \delta_{jk}) \right. \\ &\quad \left. - (1-4\nu)n_k \delta_{ij} \right] \cdot \frac{1}{4\pi(1-\nu)} \end{aligned} \quad (34)$$

$r_{,i} = \frac{\partial r}{\partial x_i} = \frac{r_i}{r}$ 이고 plane stress의 경우에 ν대신  $\nu = \frac{\nu}{1+\nu}$ 를 쓴다.

### 3. 수치계산 및 고찰

먼저 경계요소법의 타당성을 보이기 위해 다음과 같은 세 가지 모델을 택하여 계산하였다.

#### (1) model 1. circular cavity

Fig. 5와 같이 무한영역에 반경 3인 circular cavity [12]에 압력  $p (= 100)$ 를 가했을 때 내부에서 radial 방향의 stress를 exact solution[20]과 비교한 결과 거의 일치함을 보였다(Table 1).

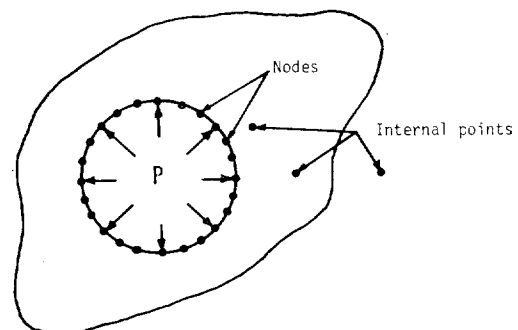


Fig. 5 Circular cavity under internal pressure

Table 1 Radial stress at internal points

cavity 중앙점 부 터의 거리	B.E.M	exact solution
4	-57.235	-56.250
6	-25.295	-25.000
10	-9.107	-9.000
20	-2.277	-2.250
50	-0.364	-0.360
200	$-0.228 \times 10^{-1}$	$-0.225 \times 10^{-1}$
1,000	$-0.924 \times 10^{-2}$	$-0.900 \times 10^{-2}$

## (2) model 2. 인장력을 받는 유공평판

Fig. 6의 (a)와 같이 중앙에 구멍을 갖는 정방형 판에  $x_1$ 방향으로  $\sigma_0$ 의 인장력을 가했을 때,  $x_1=0$  단면상의 응력분포를 (c)에 표시하였다. 그림에서 곡선은 두 한평판에 구멍이 있는 경우의 exact solution[20]이고, 유한평판에 대해서는 FEM으로 계산한 결과와 비교하였다. 판의 대칭성을 고려하여 판을  $\frac{1}{4}$  분할하여 해석하였으며 FEM은 314개의 결점자유도의 2차요소로,

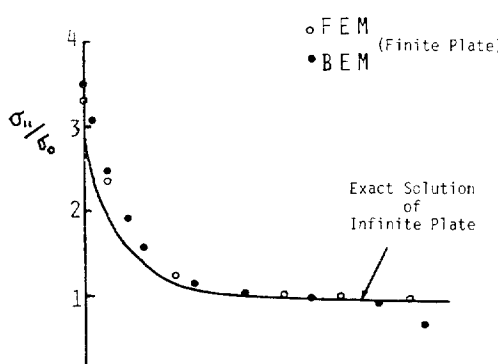
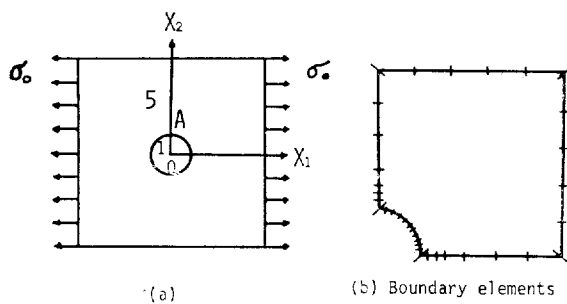


Fig. 6 Stress concentration factor of finite plate with a hole

경계요소법의 기초이론을 2차원 탄성문제에 도입하

Journal of SNAK, Vol. 23, No. 4, December 1986

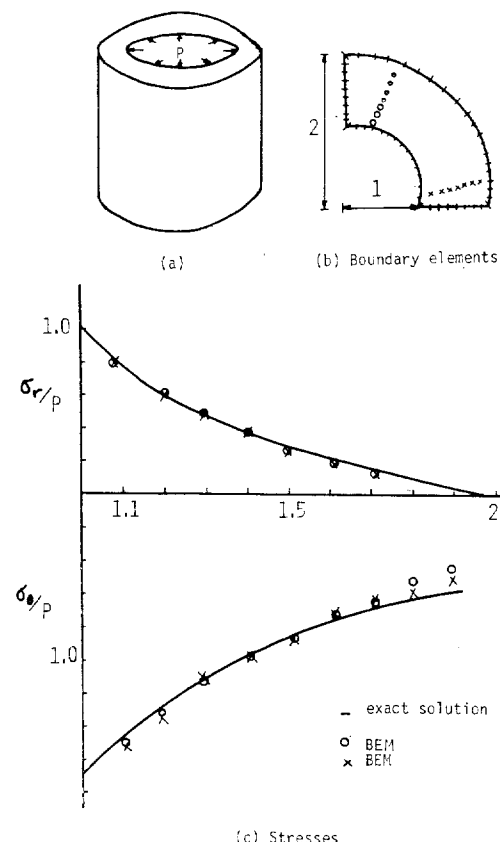


Fig. 7 Stress analysis of thick cylinder under internal pressure

BEM은 82개의 선형요소로 해석하였다.

FEM의 결과는 응력집중계수가 3.3정도이고 BEM의 경우는 3.55인데 이는 Roark와 Young[21]의 결과 3.93의 값과 비교하면 BEM이 비교적 잘 맞는다는 것을 알 수 있다.

## (3) model 3. thick cylinder

Fig. 7의 (a)와 같이 내압  $p$ 를 받는 무한히 긴 thick cylinder의 내부점에서의 radial stress와 hoop stress를 경계요소법으로 구한 결과를 exact solution[19]과 비교하였다. 계산의 편의상 Fig. 3의 (b)와 같이 cylinder의  $\frac{1}{4}$ 을 분할하여 해석하였으며 그 결과를 (c)에 도시하였다. 경계요소법으로 구한 실린더 내부의 응력분포는 업밀해와 거의 일치함을 알수있다.

## 4. 결 언

여기 기본정식화 과정과 수치계산을 위한 기법등을 기술하고, 이를 2차원 탄성문제해석에 적용하였다. 즉 무한판의 가운데에 원龜이 있고, 여기에 내압이 작용하는 경우의 응력해석, 1축 인장을 받는 유공판의 응력집중해석 및 내압을 받는 두꺼운 실린더 내부의 응력해석 등을 행한 결과, 염밀해나 유한요소법의 결과와 거의 일치하였다. 따라서 2차원 탄성문제를 경계요소법으로 해석하면 유한요소법에 비해 상당히 적은 자유도로도 정도 높은 해를 효율적으로 구할 수 있음이 확인되었다.

### 참 고 문 헌

- [1] Love, A.E.H., *A Treatise on the Mathematical Theory of Elasticity*, Cambridge Univ. Press, 4th ed., 1927.
- [2] Bergman, S. and Schiffer, M., *Kernel Functions and Elliptic Differential Equations in Mathematical Physics*, Academic Press, New York, 1953.
- [3] Muskhelishvili, N.I., *Singularity Integral Equations*, P. Noordhoff, Groningen, 1953.
- [4] Mikhlin, S.G., *Multidimensional Singular Integrals and Integral Equations*, Pergamon Press, London, 1965.
- [5] Kupradze, V.D., *Potential Methods in the Theory of Elasticity*, I.P.S.T., Jerusalem, 1965.
- [6] Jaswon, M.A., "Integral Equation Methods in Potential Theory I", *Proc., Roy. Soc., Ser. A*, 275, 1963.
- [7] Symm, G.T., "Integral Equation Methods in Potential Theory II", *Proc., Roy. Soc., Ser. A*, 275, 1963.
- [8] Jaswon, M.A. and Maiti, M., "An Integral Equation Formulation of Plate Bending Problems", *Jour. Eng. Math.*, 2, 1968.
- [9] Jaswon, M.A. and Ponter, A.R., "An Integral Equation Solution of the Torsion Problem", *Proc. Roy. Soc., Ser. A*, 273, 1963.
- [10] Rizzo, F.J., "An Integral Equation Approach to Boundary Value Problem of Classical Elastostatics", *Quart. Appl. Math.*, 25-1, 1967.
- [11] Alarcon, E., Brebbia, A.C. and Dominguez, J., "The Boundary Element Method in Elasticity", *Int. Jour. Mech. Sci.*, 20, 1978.
- [12] Brebbia, C.A., *The Boundary Element Method for Engineers*, Pentech Press, London, 1978.
- [13] Brebbia, C.A. and Walker, S., *Boundary Element Techniques in Engineering*, NewnesButterworths, 1980.
- [14] Brebbia, C.A. ed., *New Development in Boundary Element Methods*, CML Publications, Southampton, 1980.
- [15] Banerjee, P.K. and Butterfield, R., "Boundary Element Method in Engineering Science", McGraw-Hill, 1981.
- [16] Tanaka, M. and Tanaka, K., "On a New Boundary Element Solution Scheme for Elasto-plasticity", *Ing.-Arch.*, 50, 1981.
- [17] Morjaria, M. and Mukherjee, S., "Inelastic Analysis of Transverse Deflection of Plates by Boundary Element Method", *ASME Jour. Appl. Mech.*, 47-2, 1980.
- [18] 田中正隆, 田中喜久昭, 境界要素法—基礎と應用, 丸善株式會社
- [19] Rockey, K.C., Evans, H.R., Griffiths, D.W. and Nethercot, D.A., *The Finite Element Method*, Crosby Lockwood Staples, London, 1975.
- [20] Timoshenko, S.P. and Goodier, J.N., *Theory of Elasticity*, 3rd ed., 1970.
- [21] Roark, R.J. and Young, W.C., *Formulas for Stress and Strain*, McGraw-Hill, 5th ed., 1975.
- [22] Washizu, K., *Variational Methods in Elasticity and Plasticity*, 2nd ed., 1975.
- [23] Sokolnikoff, I.S., *Mathematical Theory of Elasticity*, McGraw-Hill.

부      三

Green의 정리를 이용하면

$$\int_{\Omega} -\sigma_{jk,j} u_k d\Omega = \int_{\Omega} u_{k,j} \sigma_{jk} d\Omega - \int_{\Gamma_1} n_j \sigma_{jk} u_k d\Gamma - \int_{\Gamma_2} n_j \sigma_{jk} u_k d\Gamma$$

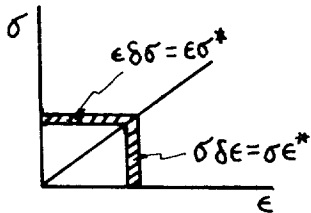


Fig. A1

또  $\epsilon_{jk} = \frac{1}{2} (\epsilon_{j,k} + \epsilon_{k,j})$ ,  $p_k = \sigma_{jk} n_j$  를 고려하면

$$\begin{aligned} \int_{\Omega} (\sigma_{jk,j} + b_k) u_k^* d\Omega &= \int_{\Omega} b_k u_k^* d\Omega - \int_{\Omega} \epsilon_{jk}^* \sigma_{jk} d\Omega \\ &\quad + \int_{\Gamma_1} p_k u_k^* d\Gamma + \int_{\Gamma_2} u_k^* p_k d\Gamma \end{aligned}$$

$u_k^*$  가 가상 변위이므로 선형 탄성체에 대해  $\sigma_{jk} \epsilon_{jk}^* = \sigma_{jk}^* \epsilon_{jk}^*$  이다 (Fig. A1 참조).

$$\int \sigma_{jk}^* \epsilon_{jk} d\Omega = - \int_{\Omega} \sigma_{jk,j} u_k d\Omega + \int_{\Gamma_1 + \Gamma_2} n_j \sigma_{jk}^* u_k d\Gamma$$

이상의 식으로부터 본문중의 (4)식은 (5)식과 같아 된다.